

Cinématique Inverse

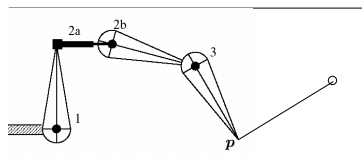
Nicolas Holzschuch
Cours d'Option Majeure 2
Nicolas.Holzschuch@imag.fr

Plan du cours

- Cinématique inverse :
 - Pourquoi faire ?
 - Animation d'un modèle
- Manipulation directe du modèle :
 - Sélection
 - Tirer une partie du modèle

Cinématique inverse

- Objet articulé
 - Liens, articulations
 - Objectif à atteindre



Cinématique inverse

- Donnée : position à atteindre (M)
- Sortie : valeurs des paramètres des articulations
- \mathbf{q} = vecteur des paramètres du modèle
 - $\mathbf{q} = (q_1, q_2, q_3, \dots, t_1, t_2, \dots)$
- Trouver $\mathbf{q} = g(M)$
- Deux rotations: calcul direct
- Trois rotations : calcul direct
- N articulations : ?

Deux rotations

- Solution directe :

$$d = \sqrt{x^2 + y^2}$$

$$d^2 = (L_1 + L_2 \cos \theta_2)^2 + (L_2 \sin \theta_2)^2$$

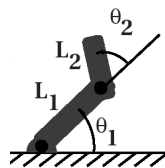
$$d^2 = L_1^2 + L_2^2 + 2L_1 L_2 \cos \theta_2$$

$$\cos \theta_2 = \frac{d^2 - L_1^2 - L_2^2}{2L_1 L_2}$$

$$\tan(\theta_1) = \frac{L_2 \sin \theta_2}{L_1 + L_2 \cos \theta_2}$$

$$\tan(\theta_1 + \theta_2) = \frac{y}{x}$$

$$\theta_1 = \arctan\left(\frac{y}{x}\right) - \arctan\left(\frac{L_2 \sin \theta_2}{L_1 + L_2 \cos \theta_2}\right)$$

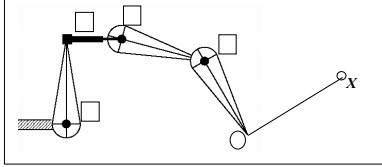


+démonstration

Trois rotations

- Encore une solution directe
 - trigonométrie
- Paramètre supplémentaire
 - Choix de la solution
- Limites des articulations

Cas général : n articulations



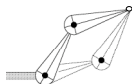
- On veut que $f(\mathbf{q})=M$
- \mathbf{q} =vecteur des paramètres du modèle
 - $\mathbf{q} = (q_1, q_2, q_3, \dots, t_1, t_2, \dots)$
- $f(\mathbf{q})$ position de l'extrémité du modèle (coord. 2D)
- M position de la cible (coordonnées 2D)
- Connaissant M, trouver \mathbf{q}

Pourquoi c'est difficile ?

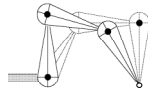
- Problème non-linéaire
- Plusieurs solutions
- Pas toujours bien conditionné
- Limites des articulations

Non-unicité

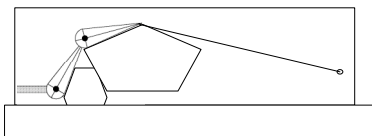
- Deux solutions :



- Intervalle de solutions :



- Pas de solutions :



Pas toujours bien conditionné

- Petite différence sur M , grande différence sur θ :



- Changer θ ne rapproche pas de M :



Au fait, que vaut f ?

- Matrice de transformation
- Concaténation des matrices
- $f(\theta) = \mathbf{R}_1(\theta_1) \mathbf{T}_1 \mathbf{R}_2(\theta_2) \mathbf{T}_2 \mathbf{R}_3(\theta_3) \mathbf{T}_3 \dots M_0$
 - M_0 position extrémité du bras avant rotations
- Non-linéaire à cause des rotations
- Calcul de f : cinématique directe

Racines d'une fonction non-linéaire

- On veut trouver θ tel que : $f(\theta) - M = 0$
- Linéarisation du problème :

$$f(\theta + h) = f(\theta) + f'(\theta)h + \frac{1}{2}f''(\theta)h^2 + \dots$$

- On part d'une valeur de θ et de $f(\theta)$
- On ne connaît pas θ tel que $f(\theta + \Delta\theta) = M$
- On peut trouver θ' qui s'en rapproche
- $\theta \leftarrow \theta + \Delta\theta$ et on itère

Linéarisation

- Séries de Taylor :

$$f(\mathbf{x} + h) = f(\mathbf{x}) + f'(\mathbf{x})h + \frac{1}{2}f''(\mathbf{x})h^2 + \dots$$

- Cas des fonctions à plusieurs variables :

$$f(\mathbf{x} + h) = f(\mathbf{x}) + \mathbf{J}(\mathbf{x})h + \frac{1}{2}h^T \mathbf{H}(\mathbf{x})h + \dots$$

- **J** Jacobien de f , forme linéaire
- **H** Hessien de f , forme quadratique

Jacobien

- Matrices des dérivées d'une fonction à plusieurs variables :

$$J_{ij} = \frac{\partial f_i}{\partial x_j}$$

$$\mathbf{J}(\mathbf{x}) = \begin{bmatrix} \frac{\partial f_x}{\partial x_0}(\mathbf{x}) & \frac{\partial f_x}{\partial x_1}(\mathbf{x}) & \dots \\ \frac{\partial f_y}{\partial x_0}(\mathbf{x}) & \frac{\partial f_y}{\partial x_1}(\mathbf{x}) & \dots \\ \frac{\partial f_z}{\partial x_0}(\mathbf{x}) & \frac{\partial f_z}{\partial x_1}(\mathbf{x}) & \dots \end{bmatrix}$$

Jacobien

- Variation de $f(\mathbf{x})$ au premier ordre
- Approximation linéaire de f
- Matrice $3 \times n$ (ou $2 \times n$ en 2D)
- Calcul de **J**:

$$f(\mathbf{x}) = \mathbf{R}_1(\mathbf{x}_1) \mathbf{T}_1 \mathbf{R}_2(\mathbf{x}_2) \mathbf{T}_2 \mathbf{R}_3(\mathbf{x}_3) \mathbf{T}_3 \dots M_0$$

$$\frac{\partial f}{\partial \mathbf{x}_1} = \frac{\partial \mathbf{R}_1}{\partial \mathbf{x}_1} \mathbf{T}_1 \mathbf{R}_2 \mathbf{T}_2 \mathbf{R}_3 \mathbf{T}_3 \dots M_0$$

Linéarisation du problème

- $f(\mathbf{q}) - M = E$, erreur actuelle
- Trouver $\Delta \mathbf{q}$, tel que $\mathbf{J}(\mathbf{q})\Delta \mathbf{q} = E$
- $\Delta \mathbf{q}$: résolution système linéaire
- Approximation linéaire : petits déplacements
 - Petits déplacements dans la direction de $\Delta \mathbf{q}$
- Série de petits déplacements
- Recalculer \mathbf{J} et E à chaque étape

Résolution itérative

- Petits pas par petits pas
- À chaque étape :
 - Choix entre plusieurs solutions
 - Prendre solution proche position actuelle
- Taille des pas :
 - Chercher taille optimale ?
 - Rotations : pour $x < 2$ degrés:
 - $\sin(x) \approx x$
 - $\cos(x) \approx 1$
 - Garder pas < 2 degrés

Algorithme

```
inverseKinematics ()
{
  start with previous  $\mathbf{q}$ ;
   $E = \text{target} - \text{computeEndPoint}()$ ;
  for(k=0; k<kmax && |E| > eps; k++){
     $\mathbf{J} = \text{computeJacobian}()$ ;
    solve  $\mathbf{J} \Delta \mathbf{q} = E$ ;
    if (max( $\Delta \mathbf{q}$ )>2)  $\Delta \mathbf{q} = 2\Delta \mathbf{q}/\text{max}(\Delta \mathbf{q})$ ;
     $\mathbf{q} = \mathbf{q} + \Delta \mathbf{q}$ ;
     $E = \text{target} - \text{computeEndPoint}()$ ;
  }
}
```

La bonne question

- solve $\mathbf{J} \mathbf{x} = \mathbf{E}$;
- \mathbf{J} n'est pas inversible
 - En fait, \mathbf{J} n'est même pas carrée
 - \mathbf{J} matrice $2 \times n$:

$$\begin{bmatrix} \frac{\partial f_x}{\partial x_0} \\ \frac{\partial f_x}{\partial x_1} \\ \frac{\partial f_y}{\partial x_0} \\ \frac{\partial f_y}{\partial x_1} \end{bmatrix} \begin{pmatrix} \square \\ \square \\ \square \\ \square \end{pmatrix} + \begin{bmatrix} \frac{\partial f_x}{\partial x_1} \\ \frac{\partial f_x}{\partial x_2} \\ \frac{\partial f_y}{\partial x_1} \\ \frac{\partial f_y}{\partial x_2} \end{bmatrix} \begin{pmatrix} \square \\ \square \\ \square \\ \square \end{pmatrix} + \dots = \begin{bmatrix} \mathbf{E}_x \\ \mathbf{E}_y \end{bmatrix}$$

Pseudo-Inverse

- $\mathbf{J}^T \mathbf{J}$ est carrée ($n \times n$). Donc :
 - $\mathbf{J} \mathbf{x} = \mathbf{E}$
 - $\mathbf{J}^T \mathbf{J} \mathbf{x} = \mathbf{J}^T \mathbf{E}$
 - $\mathbf{x} = (\mathbf{J}^T \mathbf{J})^{-1} \mathbf{J}^T \mathbf{E}$
 - $\mathbf{x} = \mathbf{J}^+ \mathbf{E}$
- $\mathbf{J}^+ = (\mathbf{J}^T \mathbf{J})^{-1} \mathbf{J}^T$ pseudo-inverse de \mathbf{J}
 - Pareil que l'inverse si \mathbf{J} est carrée et inversible
 - Propriétés : $\mathbf{J} \mathbf{J}^+ \mathbf{J} = \mathbf{J}$, $\mathbf{J}^+ \mathbf{J} \mathbf{J}^+ = \mathbf{J}^+$
 - \mathbf{J} est $m \times n$ \square \mathbf{J}^+ est $n \times m$
- Comment calculer \mathbf{J}^+ ?
 - Surtout si $\mathbf{J}^T \mathbf{J}$ n'est pas inversible

Singular Values Decomposition

- Toute matrice $m \times n$ peut s'exprimer par SVD:
 - $\mathbf{A} = \mathbf{U} \mathbf{S} \mathbf{V}^T$
 - \mathbf{U}, \mathbf{V} : matrices rectangulaires, colonnes orthogonales
 - \mathbf{S} matrice diagonale, *singular values*

$$\mathbf{A} = \mathbf{U} \begin{bmatrix} s_1 & 0 & \dots & 0 \\ 0 & s_2 & \dots & 0 \\ \vdots & \vdots & \ddots & \vdots \\ 0 & 0 & \dots & s_n \end{bmatrix} \mathbf{V}^T$$

Singular Values Decomposition

- **S** unique à l'ordre et au signe des valeurs près
 - Ordre canonique : s_i positifs, ordre croissant
 - Rang de **A** : nombre de valeurs non-nulles
 - Déterminant : produit des valeurs
- **U, V** : colonnes orthogonales

$$\mathbf{U} = \left(\vec{h}_1 \quad \vec{h}_2 \quad \dots \quad \vec{h}_n \right)$$

Pseudo-Inverse avec SVD

- Calculer SVD: $\mathbf{A} = \mathbf{USV}^T$
- Pseudo-inverse : $\mathbf{A}^+ = \mathbf{VS}^{-1}\mathbf{U}^T$

$$\begin{bmatrix} s_1 & 0 & 0 & \dots & 0 \\ 0 & \ddots & 0 & \dots & 0 \\ 0 & 0 & s_n & \dots & 0 \end{bmatrix}^{-1} = \begin{bmatrix} \frac{1}{s_1} & 0 & 0 & \dots & 0 \\ 0 & \ddots & 0 & \dots & 0 \\ 0 & 0 & \frac{1}{s_n} & \dots & 0 \end{bmatrix}$$

- Singulière : $s_i = 0$
- Mal conditionnée $s_i \ll s_0$
 - Prendre 0 au lieu de $1/s_i$ pour ces valeurs
 - Test : $s_i < \epsilon s_0$

Résoudre $\mathbf{AX}=\mathbf{B}$ avec SVD

- \mathbf{A}^+ tronquée
- $\mathbf{A}^+\mathbf{B}$ donne la solution des *moindres carrés* :
 - Pas de solutions : X qui minimise $\|\mathbf{AX}-\mathbf{B}\|^2$
 - Plusieurs solutions : $\|X\|^2$ minimal tel que $\mathbf{AX}=\mathbf{B}$
 - Stable numériquement, même pour matrices mal-conditionnées
- SVD : marteau-pilon
 - $O(n^3)$ (lent)
 - Marche toujours, et assez rapide pour nous.
 - Difficile à implémenter, cf. *Numerical Recipes in C*
- Autres méthodes pour IK: CCD, \mathbf{J}^T, \dots

Et la cinématique inverse ?

- On veut résoudre $X=f(\theta)+J(\theta)\dot{\theta}$
 - $f(\theta)$ position de l'extrémité du bras
 - i^{e} colonne de J vient de l'articulation i
 - $f(\theta)=R_1(\theta_1)T_1R_2(\theta_2)T_2R_3(\theta_3)T_3\dots M_0$

$$\frac{\partial f}{\partial \theta_i} = \frac{\partial R_1}{\partial \theta_i} T_1 R_2 T_2 R_3 T_3 \dots M_0$$

$$\frac{\partial f}{\partial \theta_i} = R_1(\theta_1 + \frac{\theta_i}{2}) T_1 R_2 T_2 R_3 T_3 \dots M_0$$

Calcul du Jacobien

- Jacobien d'une rotation :

$$\vec{r} = f(\theta) - \text{pivot}_i = \begin{bmatrix} r_x \\ r_y \end{bmatrix}$$

$$\frac{\partial f}{\partial \theta_i}(\theta) = \begin{bmatrix} r_y \\ -r_x \end{bmatrix}$$
- Jacobien d'une translation
 - Vecteur dans la direction de translation
- Remarques :
 - Calcul en coordonnées du monde, pas du modèle
 - Degrés/radians !!! (dérivée *=π/180 ?)
 - Un degré de liberté par articulation

Algorithme

```

inverseKinematics()
{
  Vector p = getLinkParameters();
  Vector E = target - computeEndPoint();
  for(k=0; k<k_max && E.norm() > eps; k++){
    Matrix J = computeJacobian();
    Matrix J* = pseudoInverse(J);
    Vector d = J*E;
    if (max(d)>2) d *= 2/max(d);
    p = p+d;
    putLinkParameters();
    E = target - computeEndPoint();
  }
}
  
```

Inverse Kinematics, niveau II

- Limites aux articulations
- Choix de la configuration

Limites aux articulations

- Chaque articulation a un intervalle limité
 - Par ex. le coude : varie sur $[0, \pi]$
 - Élément important du réalisme
- Pour forcer les limites :
 - Tester si dépassement
 - Annuler paramètre i
 - Recalculer sans i
 - Vérifier les autres paramètres

Limites aux articulations

- Algorithme modifié :
 - Après avoir calculé θ , test pour ch. articulation:
$$\theta_i^{\min} < \theta_i + \Delta\theta_i < \theta_i^{\max}$$
 - Si ça sort de l'intervalle :
 - Annuler colonne i de \mathbf{J}
 - Revient à annuler paramètre i
 - Recalculer \mathbf{J}^+
 - Moindres carrés : $\| \mathbf{J} \Delta\theta \|^2$
 - Pour plus de robustesse, forcer $\Delta\theta_i = 0$
 - Trouver θ , itérer

Choix de la configuration

- Si on a une solution homogène \mathbf{x} :
 - $\mathbf{J}\mathbf{x} = 0$
- Si \mathbf{x} solution de $\mathbf{J}\mathbf{x} = \mathbf{E}$, alors $\mathbf{x} + \mathbf{z}$ aussi :
 - $\mathbf{J}(\mathbf{x} + \mathbf{z}) = \mathbf{J}\mathbf{x} + \mathbf{J}\mathbf{z} = \mathbf{E} + 0 = \mathbf{E}$
- Si on veut modifier \mathbf{x} , de \mathbf{C} :
 - On projette \mathbf{C} sur le noyau de \mathbf{J} :

$$\mathbf{C}_{proj} = (\mathbf{J}^+ \mathbf{J} \mathbf{I}) \mathbf{C}$$

$$\mathbf{J}[(\mathbf{J}^+ \mathbf{J} \mathbf{I}) \mathbf{C}] = [\mathbf{J} \mathbf{J}^+ \mathbf{J} \mathbf{I}] \mathbf{C} = (\mathbf{J} \mathbf{I}) \mathbf{C} = 0$$

Choix de la configuration

- Valeurs souhaitée : \mathbf{x}_{pref}
- Changement voulu \mathbf{C} :
 - $C_i = w_i (\mathbf{x}_i - \mathbf{x}_{pref})_i$
 - Poids w_i donne importance relative
- Algorithme modifié :
 - Construire \mathbf{C}
 - Utiliser $\mathbf{x} = \mathbf{J}^+ \mathbf{E} + (\mathbf{J}^+ \mathbf{J} \mathbf{I}) \mathbf{C}$
 - La projection de \mathbf{C} sur le noyau ne nuit pas à la convergence
 - La solution penche vers \mathbf{x}_{pref}

Algorithmes numériques

- Beaucoup d'algorithmes for la recherche de racines de systèmes non-linéaires
 - Celui-ci marche, il y en a d'autres
- Recherche de racines lié à l'*optimisation*
 - $F(\mathbf{x}) = \mathbf{x}$ minimise $\|F(\mathbf{x}) - \mathbf{x}\|^2$
- Nombreux problèmes d'optimisation en animation
- Nombreux algorithmes doivent résoudre $\mathbf{A}\mathbf{x} = \mathbf{B}$

Plan du cours

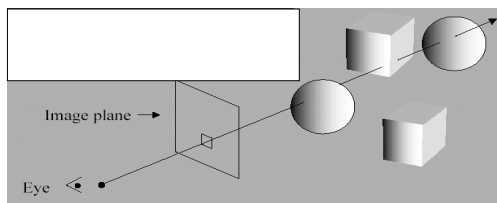
- Cinématique inverse :
 - Pourquoi faire ?
 - Animation d'un modèle
- Manipulation directe du modèle :
 - Sélection
 - Tirer une partie du modèle

Manipulation du modèle

- L'utilisateur clique à la souris
 - Trouver quel objet il a sélectionné
- 2D :
 - Conversion coord. écran vers coord. monde
- 3D :
 - Droite reliant l'œil au pixel
 - Trouver 1^{er} objet intersecté

Sélection

- Intersection droite/modèle
 - Primitive par primitive



Sélection : modèle hiérarchique

- Descente dans la hiérarchie,
 - test à chaque niveau
- Transformation de la droite en coords. locale
- Accélération possible avec boîte englobante
- Trouver le point d'intersection le plus proche

Sélection : outils OpenGL

- `glGetDoublev(GL_PROJECTION_MATRIX, pmatrix);`
 - Renvoie la matrice de projection
 - `glGetDoublev(GL_MODELVIEW_MATRIX, mmatrix);`
 - Renvoie la matrice du modèle
 - `glGetIntegerv(GL_VIEWPORT, viewport);`
 - Renvoie le viewport ($x_{min}, y_{min}, width, height$)
 - Point cliqué (x, y)
 - En pixels
 - Convertir en coordonnées du monde :
- ```
gluUnProject(x_win, y_win, z_win, mmatrix, pmatrix,
viewport, *x_obj, *y_obj, *z_obj);
```

---

---

---

---

---

---

---

---

## Sélection : outils OpenGL

- Problème : trouver  $z_{win}$ 
  - Inconnu
  - Point cliqué sur l'écran
    - $z_{win} = 0$
- Droite œil/ $M_{obj}$  (donné par `gluUnProject`)
- Intersection avec les objets de la scène

---

---

---

---

---

---

---

---

## Sélection : outils OpenGL (avancé)

- Mode *sélection* :
- L'utilisateur clique sur l'écran
- On restreint à une zone d'intérêt précise
  - e.g. 5\*5 pixels autour du point cliqué
- On retrace la scène
  - En mode *sélection*
  - Chaque primitive est nommée
- OpenGL renvoie les noms des primitives

---

---

---

---

---

---

---

---

## OpenGL : mode sélection

- Restreindre à une zone d'intérêt précise :  
`gluPickMatrix(x, y, delX, delY, viewport);`
- Appeler *avant* `gluPerspective(...)` ;
- Mode sélection :
  - Créer un buffer pour stocker les noms des objets:  
`glSelectBuffer(size, buffer);`
  - Passer en mode sélection :  
`glRenderMode(GL_SELECT);`

---

---

---

---

---

---

---

---

## OpenGL : mode sélection

- En mode sélection :
  - Nommer les primitives :  
`glInitNames();`  
`glLoadName(int);`
  - Tracer les primitives
  - Également : `glPushName(int); glPopName();`
  - Repasser en mode normal :  
`numHits = glRenderMode(GL_RENDER);`
- `buffer` contient les noms des primitives tracées

---

---

---

---

---

---

---

---

## OpenGL : mode sélection

```
glGetIntegerv(GL_VIEWPORT, viewport);
gluPickMatrix(x, y, 5, 5, viewport);
gluPerspective(...);
glSelectBuffer(100, buffer);
glRenderMode(GL_SELECT);
glInitNames();
drawNamedObjects();
numHits = glRenderMode(GL_RENDER);
if (numHits > 1) {
 glGetDoublev(GL_PROJECTION_MATRIX, pmatrix);
 glGetDoublev(GL_MODELVIEW_MATRIX, mmatrix);
 gluUnProject(x,y, 0, mmatrix, pmatrix, viewport,
 objx, objy, objz);

 /* calculer points d'intersection pour ch. objet */
 /* garder objet avec intersection la plus proche */
}
```

---

---

---

---

---

---

---

---

## Mode sélection

- Facile à implémenter
- Pas forcément le plus rapide
- Peut servir à d'autres choses :
  - Objets visibles d'un point
  - Pré-sélection d'objets dans l'espace
  - Prévision de collisions

---

---

---

---

---

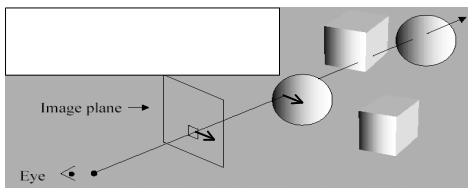
---

---

---

## Faire glisser

- Vecteur donnée en coordonnées pixel
  - Traduire en coordonnées monde
- En 3D, déplacement parallèle au plan écran
- Mettre à jour position objet sélectionné



---

---

---

---

---

---

---

---

## Plan du cours

- Cinématique inverse :
  - Pourquoi faire ?
  - Animation d'un modèle
- Manipulation directe du modèle :
  - Sélection
  - Tirer une partie du modèle

---

---

---

---

---

---

---

---

## Inverse Kinematics, niveau III

- Autres méthodes :
  - Transposée du Jacobien
  - Cyclic Coordinate Descent

---

---

---

---

---

---

---

---

## Transposée du Jacobien

- Au lieu du pseudo-inverse, utiliser le Jacobien :
  - Au lieu de :  $\dot{x} = J^+(\dot{y})dx$
  - On prend :  $\dot{y} = J^T(\dot{x})dx$
- Pratique :
  - Pas d'inversion
  - Pas de singularités
- Mais pourquoi ça marche ?

---

---

---

---

---

---

---

---

## Travaux virtuels

- Déplacement infinitésimaux

- W= force\*distance

- W=moment\*angle

$$F \cdot \Delta x = M \cdot \Delta \theta$$

$$F^T \Delta x = M^T \Delta \theta$$

$$\Delta x = \mathbf{J} \Delta \theta$$

$$F^T \mathbf{J} \Delta \theta = M^T \Delta \theta$$

$$F^T \mathbf{J} = M^T$$

$$M = \mathbf{J}^T F$$

---

---

---

---

---

---

---

---

## Transposée du Jacobien

- Distance à l'objectif = force qui tire l'extrémité

- Remplacer système non-linéaire par système dynamique

- Lois de la dynamique

- Équivalent à *steepest descent algorithm*

---

---

---

---

---

---

---

---

## Transposée du Jacobien

- Avantages :

- Pas d'inversion (numériquement moins cher)

- Pas de singularités

- Inconvénients :

- Convergence plus lente

- $\mathbf{J}^+$  donnait solution avec norme minimale

- Ici pas le cas :

- Éléments éloignés ont influence plus grande

- Problèmes d'échelle

---

---

---

---

---

---

---

---

## Cyclic Coordinate Descent

- Problème multi-dimensionnel compliqué
- Résoudre une série de problèmes 1D
- Pour chaque articulation :
  - Trouver valeur du paramètre qui se rapproche le plus de la solution
  - Solution analytique
- Itérer

---

---

---

---

---

---

---

---

## Cyclic Coordinate Descent

- Avantages :
  - Facile à implémenter
  - Efficace (souvent)
  - Numériquement pas cher
- Inconvénients :
  - Mouvements peu naturels
  - Ne trouve pas forcément la solution optimale
    - Limiter les pas à chaque étape
    - Mais convergence plus lente

---

---

---

---

---

---

---

---